

DOR: 20.1001.1.23223243.2021.19.1.29.0

برآورد سطح زیر کشت گندم (*Triticum aestivum* L.) با استفاده از تصاویر ماهواره‌ای سنتینل-۲
(مطالعه موردی: شهرستان شوشتر)

Estimation of wheat (*Triticum aestivum* L.) growing areas using Sentinel-2
satellite images (Case study: Shushtar county)

فاطمه مدیری^۱، محمد معظمی^۲ و کامران الماسیه^۳

چکیده

مدیری، ف.، م. معظمی و ک. الماسیه. برآورد سطح زیر کشت گندم (*Triticum aestivum* L.) با استفاده از تصاویر ماهواره‌ای سنتینل-۲ (مطالعه موردی: شهرستان شوشتر). نشریه علوم زراعی ایران. ۲۶ (۳): ۲۷۱-۲۵۸.

داشتن آمار و اطلاعات به‌روز از سطح زیر کشت محصولات کشاورزی یک ضرورت در طراحی الگوی کشت، مدیریت منابع آب و ارزیابی اثرات زیست‌محیطی ناشی از آن است و در این رابطه سنجش از دور یک ابزاری سودمند محسوب می‌شود. در این تحقیق سطح زیر کشت گندم در شهرستان شوشتر استان خوزستان با استفاده از تصاویر ماهواره‌ای سنتینل-۲ برآورد شد. به‌منظور شناسایی مزارع گندم، سری زمانی شاخص تفاضل پوشش گیاهی نرمال شده منطبق با فنولوژی گیاه گندم در منطقه، محاسبه شد و مبنای تهیه نمونه‌های تعلیمی قرار گرفت. در ادامه از دو روش طبقه‌بندی حداکثر احتمال و ماشین‌بردار پشتیبان برای طبقه‌بندی تصاویر و تفکیک مزارع گندم استفاده شد. نتایج ارزیابی صحت نشان داد که روش ماشین‌بردار پشتیبان با دقت کلی ۹۸/۵ و ضریب کاپای ۹۶/۵ دقت بالاتری نسبت به روش حداکثر احتمال داشته و به‌عنوان مبنای محاسبه مساحت مزارع گندم قرار گرفت. نتایج نشان داد که مساحت اراضی زیر کشت گندم ۴۸۲۳۳ هکتار به‌دست آمد که تفاوت اندکی با برآوردهای موجود داشت. بر اساس نتایج این تحقیق می‌توان اظهار کرد که استفاده از روش سری زمانی شاخص تفاضل پوشش گیاهی نرمال شده در ترکیب با روش طبقه‌بندی ماشین‌بردار پشتیبان، امکان محاسبه سریع و دقیق سطح زیر کشت گندم را فراهم کرده و می‌توان از این روش برای سایر محصولات کشاورزی و برنامه‌ریزی الگوی کشت در منطقه استفاده نمود.

واژه‌های کلیدی: حداکثر احتمال، سری‌های زمانی، شاخص NDVI، گندم و ماشین‌بردار پشتیبان

این مقاله مستخرج از پایان‌نامه کارشناسی ارشد نگارنده اول می‌باشد

تاریخ دریافت: ۱۴۰۳/۰۴/۱۹ تاریخ پذیرش: ۱۴۰۳/۰۷/۰۷

۱- دانش‌آموخته کارشناسی ارشد، دانشگاه علوم کشاورزی و منابع طبیعی خوزستان، ملاتانی، ایران

۲- استادیار دانشگاه علوم کشاورزی و منابع طبیعی خوزستان، ملاتانی، ایران (مکاتبه کننده، moazami@asnruk.ac.ir)

۳- دانشیار دانشگاه علوم کشاورزی و منابع طبیعی خوزستان، ملاتانی، ایران

Estimation of wheat (*Triticum aestivum* L.) growing areas using Sentinel-2 satellite images (Case study: Shushtar county)

Modiri, F.¹, Moazami, M.² and Almasieh, K.³

ABSTRACT

Modiri, F., Moazami, M., and Almasieh, K. 2025. Estimation of wheat (*Triticum aestivum* L) growing areas using Sentinel-2 satellite images (Case study: Shushtar county). **Iranian Journal of Crop Sciences. 26(1): 258-271. (In Persian).**

Introduction: Up-to-date information on growing area is necessary for cropping pattern, and remote sensing is a useful tool in achieve this goal (Hunt *et al.*, 2019). Among various image classification algorithms and vegetation indices for crop type identification, machine learning methods and normalized difference vegetation index (NDVI) have had better results (Mousavi *et al.*, 2020). In addition, attention to plant phenological stages and using multi-temporal images have led to more accurate crop distinction. The aim of this study was estimation of wheat growing areas in Shushtar county in Khuzestan province in Iran.

Materials and Methods: Time series of NDVI index was obtained from eight Sentinel-2 satellite images from November to June, which correspond to the wheat growth stages. Then, maximum likelihood and support vector machine algorithms were used to identify wheat fields. To implement the classification methods, training and test samples were needed, which were obtained by matching the NDVI diagram of the wheat crop growth stages and field surveys.

Results: Error matrix was used to evaluate the classification results. Based on this, the support vector machine with overall accuracy and Kappa coefficient of 98.5 and 96.5 percent, respectively, had higher accuracy than the maximum likelihood with overall accuracy and Kappa coefficient of 97.8 and 95 percent, respectively. In addition, considering the wheat crop phenological stages using the time series of NDVI in training samples, selection increased the classifications accuracy. Based on the support vector machine results, the total wheat growing areas was estimated to be 48233 hectares, which showed a small deviation from the available surveys.

Conclusion: Using the pattern of NDVI time series to obtain training samples showed the efficiency of plant indices in estimation of wheat growing areas according to the crop phenological stages. In addition, the results revealed that the support vector machine classification was more accurate than the maximum likelihood in the study areas, and it was considered as a base method. One reason for the appropriate performance of the support vector machine was appropriate distribution and adequate number of training samples based on wheat phenological stages. It can be concluded that the time series of the normalized difference vegetation index in combination with the support vector machine classification provided the possibility of quick and accurate estimation of the wheat growing areas in Shushtar county in Khuzestan in Iran.

Key words: Maximum likelihood, NDVI, Support vector machine, Training samples and Wheat

Received: July, 2024

Accepted: September, 2024

1. MSc Graduated student, Agricultural Sciences and Natural Resources University of Khuzestan, Mollasani, Iran

2. Assist Prof, Agricultural Sciences and Natural Resources University of Khuzestan, Mollasani, Iran

(Corresponding author, ✉ moazami@asnruk.ac.ir)

3. Associate Prof., Agricultural Sciences and Natural Resources University of Khuzestan, Mollasani, Iran

مقدمه

گندم یکی از مهم‌ترین محصولات استراتژیک در ایران و جهان است و از دیرباز به عنوان منبع اصلی تغذیه انسان‌ها مطرح بوده است. داشتن آمار و اطلاعات دقیق از وسعت زمین‌های زیر کشت گندم، برای سیاست‌گذاران بخش کشاورزی و صنعت به‌منظور برنامه‌ریزی برای تولید، توزیع، ذخیره، واردات یا صادرات این محصول راهبردی ضروری است (Hunt et al., 2019). با توجه به گسترده‌ی زراعت گندم در مناطق مختلف کشور و پراکندگی زمین‌های زیر کشت، نیاز به روش‌هایی است که در کمترین زمان ممکن و با حداقل هزینه و حداکثر دقت بتوان میزان محصول تولیدی در یک سال زراعی را برآورد کرده و اطلاعات آن را در اختیار برنامه‌ریزان قرار داد (Mousavi et al., 2020). سامانه‌های سنجش از دور با توجه به تناوب در اخذ تصاویر یک ناحیه، تصویربرداری در طول موج‌های مختلف در یک زمان و امکان پردازش و تجزیه و تحلیل سریع اطلاعات، به‌طور گسترده در تجزیه داده‌های کشاورزی از جمله شناسایی نوع گیاه زراعی مورد استفاده قرار می‌گیرند (Mousavi et al., 2020).

علی‌پور و همکاران (Alipour et al., 2014) به‌منظور شناسایی اراضی زیر کشت و تهیه نقشه نوع محصول در مزارع آستان قدس رضوی از تصویر لندست و دو روش طبقه‌بندی حداکثر احتمال و شبکه عصبی مصنوعی استفاده کردند. نتایج این تحقیق نشان دهنده صحت نتایج طبقه‌بندی با نقاط واقعی زمینی بوده و حاکی از برتری روش طبقه‌بندی شبکه عصبی بود. نقشه بدست آمده با روش یاد شده تفاوت ۲/۱ درصدی با اطلاعات آماربرداری سطح زیر کشت مزارع داشت. این تفاوت برای روش حداکثر احتمال ۸/۴ درصد بود. رحیم زادگان و پورغلام (Rahimzadegan and Pourgholam, 2017) تحقیق مشابهی را به‌منظور تعیین سطح زیر کشت زعفران با

استفاده از تصاویر لندست-۸ در شهرستان تربت حیدریه انجام دادند. نتایج نشان داد که استفاده از شاخص NDVI و روش طبقه‌بندی ماشین‌بردار پشتیبان، بهترین عملکرد را در تفکیک اراضی زیر کشت زعفران داشت. موسوی و همکاران (Mousavi et al., 2020) سطح زیر کشت گندم دیم در شهرستان زنجان را با استفاده از تصاویر سنتینل-۲ و دو روش طبقه‌بندی حداکثر احتمال و ماشین‌بردار پشتیبان برآورد کردند. نتایج نشان داد که روش ماشین‌بردار پشتیبان با دقت کلی ۰/۸۹ نسبت به روش حداکثر احتمال با دقت کلی ۰/۸۸، برتری داشت. عیبات و همکاران (Abiyat et al., 2022) برای شناسایی نوع گیاه زراعی با استفاده از تصاویر لندست-۸ در شهرستان شوشتر از دو رویکرد استفاده کردند. در رویکرد اول از روش‌های معمول طبقه‌بندی حداکثر احتمال و ماشین‌بردار پشتیبان استفاده شد و در رویکرد دوم سری زمانی شاخص NDVI تهیه شد که در آن مراحل فنولوژیک و حداکثر مقدار تاج‌پوشش هر گیاه، مبنای جداسازی قرار گرفت. مقایسه نتایج به‌دست آمده با آمار سازمان جهاد کشاورزی استان نشان دهنده دقت بالای رویکرد اخیر (با دقت کلی ۹۵ درصد) نسبت به رویکرد اول بود. ژنگ و همکاران (Zheng et al., 2015) در یک پژوهش در ایالت آریزونا آمریکا از سری زمانی شاخص NDVI حاصل از تصاویر لندست با دو رویکرد تصادفی و هوشمند برای انتخاب نمونه‌های تعلیمی استفاده کردند که نتایج نشان دهنده دقت بالای ۸۶ درصد هر دو رویکرد بود و سپس از روش طبقه‌بندی ماشین‌بردار پشتیبان برای شناسایی گیاهان زراعی استفاده شد. والو و همکاران (Vuolo et al., 2018) در یک تحقیق دو ساله از تصاویر چند زمانه سنتینل-۲ بر اساس مراحل فنولوژیک گیاه به‌منظور طبقه‌بندی نوع گیاه زراعی استفاده کردند. نتایج نشان داد که در ابتدای فصل رشد، طبقه‌بندی دقت نسبتاً کمی داشته، اما در مرحله حداکثری تاج پوشش، روش طبقه‌بندی جنگل

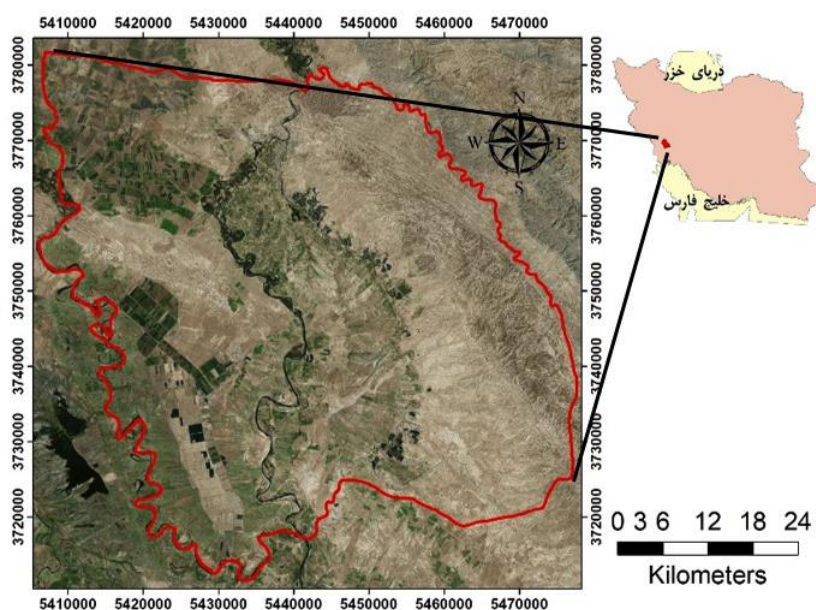
مواد و روش‌ها

شهرستان شوشتر با جمعیت ۱۹۲۰۰۰ نفر (بر اساس سرشماری سال ۱۳۹۵) و مساحت ۲۴۳۳ کیلومتر مربع در شمال استان خوزستان بین ۴۸ درجه و ۳۵ دقیقه تا ۴۹ درجه و ۱۲ دقیقه طول شرقی و ۳۱ درجه و ۳۶ دقیقه تا ۳۲ درجه و ۲۶ دقیقه عرض شمالی قرار گرفته است. از لحاظ طبیعی دامنه‌های انتهایی رشته کوه‌های زاگرس و رود دز به ترتیب مرز شرقی و مرز غربی شهرستان شوشتر را تشکیل می‌دهند. این شهرستان دارای تابستان‌های گرم و زمستان‌های معتدل مدیترانه‌ای با میانگین بارندگی ۳۲۲ میلی‌متر، میانگین دما ۲۷ درجه سانتی‌گراد و میانگین ارتفاع از سطح دریا ۱۵۰ متر است. وسعت اراضی کشاورزی آبی و دیم در شهرستان شوشتر، به‌عنوان یکی از مهم‌ترین مراکز کشاورزی استان خوزستان، بیش از ۷۵ هزار هکتار است و سالانه ۵۵۰ هزار تن انواع محصولات کشاورزی در این شهرستان تولید می‌شود (Abiyat et al., 2022). موقعیت جغرافیایی شهرستان شوشتر و تصویر ماهواره‌ای آن در شکل ۱ ارائه شده است.

جهت اطلاع از زمان کشت، زمان رسیدن به حداکثر مقدار تاج پوشش گیاهی، زمان رسیدگی و برداشت محصول انواع گیاهان زراعی، تقویم زراعی منطقه از اداره جهاد کشاورزی شهرستان شوشتر اخذ شد. بر این اساس گیاه گندم در یک دوره هفت تا هشت ماهه از اواسط آبان کشت می‌شود، در اسفند به حداکثر مقدار تاج پوشش گیاهی رسیده و تا اواخر اردیبهشت برداشت می‌شود. به دلیل تشابه طیفی بین گیاهان زراعی اصلی منطقه، نمی‌توان از یک تصویر برای تفکیک مزارع گندم منطقه مورد مطالعه استفاده کرد، اما با در نظر گرفتن مراحل فنولوژیک گیاهان مختلف، تفکیک مطلوب تر گیاهان امکان‌پذیر خواهد شد. بنابراین تقویم زراعی گندم برای انتخاب محدوده زمانی مناسب جهت تهیه تصاویر مد نظر قرار گرفت و با توجه به هدف تحقیق، هشت تصویر ماهواره سنتینل-۲ مربوط

تصادفی قادر به پیش‌بینی قابل قبولی (با دقت کلی ۹۵ درصد) برای نه‌گونه گیاهی بود. ترن و همکاران (Tran et al., 2022) در دو منطقه در آمریکا که از لحاظ مساحت اراضی و نوع گیاهان زراعی با هم متفاوت بودند، نقشه نوع گیاه زراعی را از باندهای ۱۰ متری سنتینل-۲ تهیه کردند. برای این کار، NDVI ماهانه در فصل رشد به‌عنوان ورودی مدل طبقه‌بندی مورد استفاده قرار گرفت. نتایج نشان داد که دقت کلی برای منطقه با مزارع وسیع تر و تنوع گیاهی کمتر ۹۴ درصد و برای منطقه با مزارع کوچک‌تر و تنوع گیاهی بیشتر ۸۳ درصد بود. اسدی و شمس‌الدینی (Asadi and Shamsoddini, 2024) از دو نوع تصاویر راداری و نوری ماهواره سنتینل برای تخمین سطح زیر کشت گیاهان مختلف استفاده کردند. آنها از چندین ترکیب باندی و دو روش طبقه‌بندی جنگل تصادفی و ماشین‌بردار پشتیبان برای تفکیک نوع گیاهان استفاده کردند. نتایج نشان داد که استفاده از باندهای لبه قرمز و شاخص‌های گیاهی مبتنی بر آنها در مدل جنگل تصادفی بهترین ترکیب بوده است.

جمع‌بندی پژوهش‌های انجام شده نشان داده است که تا کنون از انواع مختلفی از الگوریتم‌های طبقه‌بندی و شاخص‌های پوشش گیاهی با هدف شناسایی نوع گیاه زراعی استفاده شده است که روش‌های یادگیری ماشین و شاخص پوشش گیاهی NDVI نتایج بهتری داشته و تصاویر سنتینل-۲ نسبت به سایر تصاویر کاربرد بیشتری داشته‌اند. به‌علاوه در نظر گرفتن مراحل فنولوژیک گیاه و استفاده از تصاویر چند زمانه باعث تشخیص دقیق تر نوع گیاهان زراعی شده است. در این راستا هدف از تحقیق حاضر تهیه آمار و اطلاعات دقیق و به‌روز از سطح زیر کشت گندم در سطح شهرستان شوشتر در استان خوزستان با استفاده از سری زمانی NDVI تصاویر سنتینل-۲ در ترکیب با دو روش طبقه‌بندی حداکثر احتمال و ماشین‌بردار پشتیبان بوده است.



شکل ۱- موقعیت جغرافیایی و تصویر ماهواره‌ای شهرستان شوشتر
 Fig. 1. Geographical location and satellite image of Shushtar county

رادئومتریک دقیق‌تر و حذف اثرات اتمسفر که به دلیل پخش و جذب امواج الکترومغناطیسی به وجود می‌آیند، از روش‌های مبتنی بر مدل‌های انتقال انرژی استفاده شد که در آن‌ها با به کارگیری مدل‌های تجربی، مسیر حرکت امواج الکترومغناطیسی از آغاز تابش خورشیدی تا زمانی که به سنجنده برسد و کلیه عوامل اثرگذار روی امواج، شبیه‌سازی می‌شود. روش تصحیح اتمسفری مورد استفاده در این تحقیق، روش (Quick Atmospheric Correction) QUAC است (Bernstein et al., 2012). ورودی این مدل، لایه بازتاب بالای اتمسفر است که با استفاده از رابطه یک تهیه شد (Mousavi et al., 2020).

(رابطه ۱)

$$x = \begin{cases} 0 & \text{if } DN < 0 \\ 1 & \text{if } DN > 10000 \\ \frac{DN}{10000} & \text{if } 0 < DN < 10000 \end{cases}$$

DN: درجه روشنایی هر سلول تصویر، x: ارزش

به سال زراعی ۱۴۰۲-۱۴۰۱ و برای ماه‌های نوامبر ۲۰۲۲ (آبان ۱۴۰۱) تا ژوئن ۲۰۲۳ (خرداد ۱۴۰۲) با پوشش ابر حداکثر پنج درصد، از سایت سازمان زمین‌شناسی آمریکا (earthexplorer.usgs.gov) اخذ شد. در این دوره گیاهان دیگری نیز در منطقه وجود دارند، اما مراحل کاشت، حداکثر پوشش گیاهی و برداشت محصول آن‌ها با گندم تفاوت دارد، بنابراین تصاویر دریافت شده صرفاً بر دوره رشد گندم منطبق بودند. ماهواره سنتینل-۲ قابلیت تصویربرداری چند طیفی با استفاده از ۱۳ باند مختلف در محدوده مرئی و مادون قرمز داشته و قدرت تفکیک مکانی ۱۰، ۲۰ و ۶۰ متری را دارا می‌باشد. در این تحقیق از باندهای مرئی و مادون قرمز نزدیک که قدرت تفکیک ۱۰ متری دارند استفاده شد.

اولین اقدام در استفاده از تصاویر ماهواره‌ای، مرحله پیش‌پردازش است که شامل اجرای تصحیحات هندسی و رادئومتریک می‌باشد. سطح تصحیحات تصاویر اخذ شده نشان دهنده تصحیحات هندسی کامل و تصحیحات رادئومتریک اولیه است. به منظور تصحیح

عددی هر سلول در لایه بازتاب بالای اتمسفر است که بین صفر و یک قرار دارد.

شاخص تفاضل پوشش گیاهی نرمال شده (NDVI) شناخته شده ترین، ساده ترین و کاربردی ترین شاخص گیاهی است که توسط راس و همکاران (Rouse et al., 1974) ارائه شد. این شاخص به خوبی قادر به تفکیک پوشش سبز گیاهی از خاک زمینه بوده و وضعیت سبزیگی یک منطقه در دوره های مختلف رشد گیاه را نشان می دهد (Sadooghi et al., 2020). در این شاخص نسبت معینی از باندهای مادون قرمز نزدیک و قرمز مورد استفاده قرار می گیرد، زیرا این دو باند توسط گیاهان به ترتیب بازتاب و جذب می شوند. نسبت بالای بین این دو باند نشان دهنده پوشش سالم گیاهی بوده و نسبت پایین بین آنها نشان دهنده وضعیت نامناسب پوشش گیاهی، وقوع تنش و یا بدون پوشش گیاهی بودن منطقه است. شاخص NDVI با استفاده از رابطه دو محاسبه شد.

$$NDVI = \frac{NIR-RED}{NIR+RED} \quad (\text{رابطه ۲})$$

NIR و RED: به ترتیب باند مادون قرمز نزدیک و قرمز تابش الکترومغناطیسی هستند.

مقادیر شاخص NDVI در بازه ۱ و ۱- متغیر است و مقدار کلی آن برای پوشش گیاهی تنک ۰/۰۵ تا ۰/۲، پوشش معمولی و نیمه متراکم ۰/۲ تا ۰/۶، پوشش متراکم ۰/۶ تا ۰/۸ بوده و مقادیر آن برای آب، برف و یخ منفی، برای خاک ۰/۰۱ تا ۰/۰۵ و برای مناطق پوشیده از ابر، تقریباً برابر با صفر است (Schowengerdt, 2007).

طبقه بندی ماشین بردار پشتیبان یک روش طبقه بندی نظارت شده غیر پارامتریک است. در این مدل با استفاده از الگوریتم بهینه سازی، صفحات مرزی بین طبقه های مختلف ایجاد شده و ابر صفحه را به ترتیبی به نقاط برازش می دهد که بیشترین تفکیک پذیری میان دو طبقه ایجاد شود. ابر صفحه ای که حداکثر حاشیه را بین دو طبقه ایجاد می کند، ابر صفحه بهینه و داده های

نزدیک تر به ابر صفحه، بردارهای پشتیبان نامیده می شوند. در این روش به منظور جداسازی بهینه مرز طبقه ها از معادلات کرنل (هسته) استفاده می شود و بسته به پیچیدگی فضای ویژگی، انواع کرنل های خطی و کرنل های غیرخطی مانند گوسین، چند جمله ای، شعاعی و پیچشی قابل تعریف هستند که برای دستیابی به شرایط بهینه، پارامترهای هر کدام باید با سعی و خطا تنظیم شوند (Mountrakis et al., 2011). این طبقه بندی با انواع کرنل ها اجرا شد که با توجه به ماتریس خطای طبقه بندی، کرنل شعاعی عملکرد بهتری نسبت به کرنل های دیگر داشت. علاوه بر این، کرنل شعاعی فقط به یک پارامتر از پیش تعریف شده نیاز دارد که اجرای آن را در مقایسه با سایر کرنل ها ساده تر می کند. به منظور ارزیابی نتایج طبقه بندی، از ماتریس خطا استفاده می شود. این ماتریس نشان دهنده تطابق هر طبقه طبقه بندی شده با واقعیت زمینی است. دو پارامتر صحت کلی و ضریب کاپا از ماتریس خطا به دست می آیند. صحت کلی یکی از ساده ترین پارامترهای دقت است که میانگینی از دقت طبقه بندی را ارائه می دهد. دقت کلی از جمع عناصر قطر اصلی ماتریس خطا تقسیم بر تعداد کل سلول ها و با استفاده از رابطه سه محاسبه شد.

$$OA = \frac{\sum m_{ii}}{N} \quad (\text{رابطه ۳})$$

OA: دقت کلی، N: تعداد کل سلول ها و $\sum m_{ii}$: جمع عناصر قطر اصلی ماتریس خطا (سلول هایی که درست طبقه بندی شده اند) هستند. در صورتی که دقت کلی در نقشه های به دست آمده بیشتر از ۷۰ درصد باشد، دقت آنها قابل اعتماد محسوب می شود (Moradi et al., 2016). ضریب کاپا دقت طبقه بندی تصویر را نسبت به یک طبقه بندی کاملاً تصادفی محاسبه می کند. دامنه ضریب کاپا صفر تا یک است که عدد یک نشان دهنده توافق صد درصد طبقه بندی با واقعیت زمینی است. شاخص کاپا با استفاده از رابطه چهار محاسبه شد.

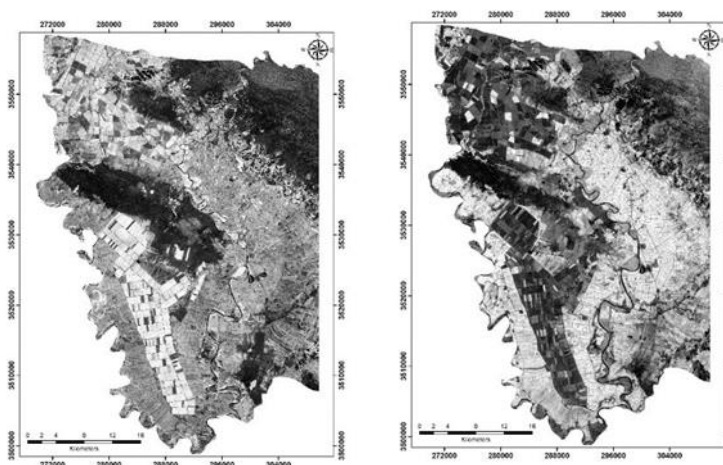
$$K = \frac{(N \cdot \sum_{i=1}^n m_{ii}) - \sum_{i=1}^n G_i C_i}{N^2 - \sum_{i=1}^n G_i C_i} \quad (\text{رابطه ۴})$$

از تصاویر با استفاده از رابطه ذکر شده، استخراج شد. روشنی تصاویر نشان دهنده سبزیگی بیشتر پوشش گیاهی است و تیرگی تصاویر نشان دهنده مناطق فاقد پوشش است. محاسبه این شاخص بر این اصل استوار است که گیاهان سالم به دلیل جذب نور مرئی توسط کلروفیل و سایر رنگدانه‌ها دارای بازتابندگی کم در این محدوده هستند، اما در محدوده مادون قرمز نزدیک، به دلیل ساختار سلولی برگ دارای بازتابندگی بالا است (Arekhi and Fathizad, 2015). تصاویر NDVI برای ماه‌های اسفند (حداکثر پوشش گیاهی) و اردیبهشت (رسیدگی و برداشت محصول) در شکل ۲ ارائه شده است.

K: ضریب کاپا، m_{ii} : تعداد نمونه‌هایی که در واقعیت زمینی طبقه i بوده و در مقادیر اختصاص یافته نیز همان طبقه را دارند، G_i : تعداد نمونه‌های واقعیت زمینی در طبقه i ، C_i : تعداد نمونه‌های اختصاص داده شده به طبقه i ، n : تعداد طبقه‌ها و N : تعداد کل نمونه‌ها هستند.

نتایج و بحث

با استفاده از هشت تصویر انتخاب شده منطبق با دوره رشد گندم، تصحیح اتمسفری با روش QUAC در نرم‌افزار پردازش تصویر ENVI 5.3 اجرا شد. در ادامه شاخص تفاضل پوشش گیاهی نرمال شده (NDVI) هر یک

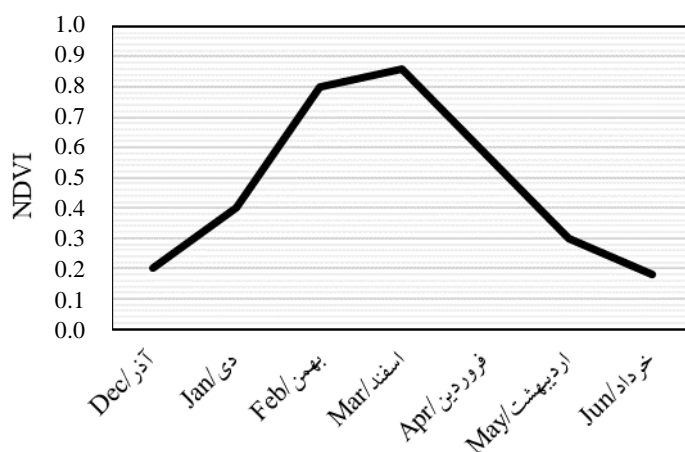


شکل ۲- تصاویر تفاضل پوشش گیاهی نرمال شده برای ماه‌های اسفند (راست) و اردیبهشت (چپ)

Fig. 2. NDVI for March (right) and May (left)

یافت و در خرداد دوباره به کمتر از ۰/۲ رسید که مقارن با زمان برداشت محصول گندم بود. این الگو که شاخص مزارع گندم است، در ادامه فرایند طبقه‌بندی در نرم‌افزار ENVI 5.3 مورد استفاده قرار گرفت. به منظور اجرای مدل‌های طبقه‌بندی نظارت شده، نیاز به نمونه‌های تعلیمی و ارزیابی است. به این منظور، مختصات مزارع گندم در برداشت‌های میدانی تعیین شد و سپس با نمودار سری زمانی NDVI تطبیق داده شد تا سلول مورد نظر بعنوان مزرعه گندم تایید شود. با جمع‌بندی داده‌ها، مختصات ۶۸ نقطه محل که پراکنش

سری زمانی شاخص تفاضل پوشش گیاهی نرمال شده (شکل ۳) که نشان دهنده دوره فنولوژیک گندم در منطقه است با استفاده از نرم‌افزار اکسل (Microsoft Excel 2013) ایجاد شد. مقدار این شاخص در مزارع گندم در آذر کمتر از ۰/۲ بود که نشان دهنده عدم وجود پوشش گیاهی و منطبق بر زمان کاشت گندم در منطقه است. مقدار این شاخص در ماه اسفند در سرسبزترین مزارع به بیش از ۰/۸۵ رسید که این مقدار مقارن با حداکثر پوشش گیاهی گندم است. بعد از این مرحله مقدار این شاخص به دلیل زرد شدن گیاه کاهش



شکل ۳- سری زمانی شاخص تفاضل پوشش گیاهی نرمال شده (NDVI) برای گیاه گندم در شهرستان شوشتر

Fig. 3. NDVI time series for wheat crop in Shushtar County

دقت کاربرد نشان دهنده میزان طبقه‌بندی صحیح سلول‌های یک طبقه نسبت به سایر طبقات در واقعیت زمینی است و دقت تولیدکننده نشان دهنده میزان طبقه‌بندی صحیح سلول‌های یک طبقه نسبت به همان طبقه در واقعیت زمینی است. مبنای خطای گماشته اشاره به آن طبقه از سلول‌هایی دارد که به اشتباه طبقه‌بندی شده و در واقع به آن طبقه تعلق ندارد و مبنای خطای حذف شده قرار گرفتن سلول‌های یک طبقه در طبقه‌های دیگر است.

بر اساس نتایج بدست آمده مدل ماشین‌بردار پشتیبان با دقت کلی و ضریب کاپای به ترتیب ۹۸/۵ و ۹۶/۵ درصد، دقت بالاتری را نسبت به مدل حداکثر احتمال با دقت کلی و ضریب کاپای به ترتیب ۹۷/۸ و ۹۵ درصد داشت. به نظر بسیاری از محققان، این روش در تفکیک پدیده‌هایی که رفتار طیفی نزدیک به هم دارند، بسیار موفق بوده و تفکیک مناسبی روی نوع محصول مورد بررسی نشان می‌دهد (Rezaii Moghadam et al., 2015). روش حداکثر احتمال به مدل آمار گوسی وابسته بوده و فرض می‌شود که کلیه نمونه‌های آموزشی از پراکنش نرمال برخوردار هستند، بنابراین در صورت نرمال نبودن

مناسبی در سطح منطقه داشتند، به دست آمد. از این تعداد ۴۸ نقطه برای ایجاد نمونه‌های تعلیمی و ۲۰ نقطه برای ارزیابی صحت مدل‌های طبقه‌بندی مورد استفاده قرار گرفتند.

با اجرای دو مدل طبقه‌بندی نظارت شده حداکثر احتمال و ماشین‌بردار پشتیبان در نرم افزار ENVI 5.3، مزارع گندم در منطقه مورد مطالعه تفکیک شدند. پس از پایان هر طبقه‌بندی، نتایج با داده‌های واقعیت زمینی مقایسه شده و معیارهای تعیین صحت، برآورد شد. هدف از ارزیابی دقت، تعیین میزان همخوانی نقشه حاصل از طبقه‌بندی با نقشه واقعیت زمینی است. نتیجه این ارزیابی به صورت جدول ماتریس خطا ارائه شد (جدول‌های ۱ و ۲). در این جدول‌ها نتایج ماتریس خطا، دقت کلی و ضریب کاپای مدل به ترتیب برای مدل‌های حداکثر احتمال و ماشین‌بردار پشتیبان نشان داده شده است. دقت کلی، به عنوان یک معیار ارزش‌گذاری در ارزیابی طبقه‌بندی است. با این وجود سلول‌هایی که به خطا به طبقه اختصاص یافته بودند در محاسبه لحاظ نشدند. ضریب کاپا به دلیل این که سلول‌های درست طبقه‌بندی نشده را در نظر می‌گیرد، از معیار دقت کلی گویاتر است (Mousavi et al., 2020).

جدول ۱- ماتریس خطای طبقه‌بندی در روش حداکثر احتمال

Table 1. Matrix of Maximum Likelihood Classification error

Class	طبقه	گندم Wheat	سایر Others	جمع Sum	دقت کاربر User accuracy	خطای گماشته Commission
Wheat	گندم	9224	166	9390	98.2	1.8
Others	سایر	502	21879	22381	97.7	2.3
Sum	جمع	9726	22045	31771		
Producer accuracy	دقت تولیدکننده	94.8	99.2			
Comission	خطای حذف شده	5.2	0.8			
Overall accuracy	دقت کلی	97.8				
Kappa Coefficient	ضریب کاپا	95				

جدول ۲- ماتریس خطای طبقه‌بندی در روش ماشین بردار پشتیبان

Table 2. Matrix of Support Vector Machine classification error

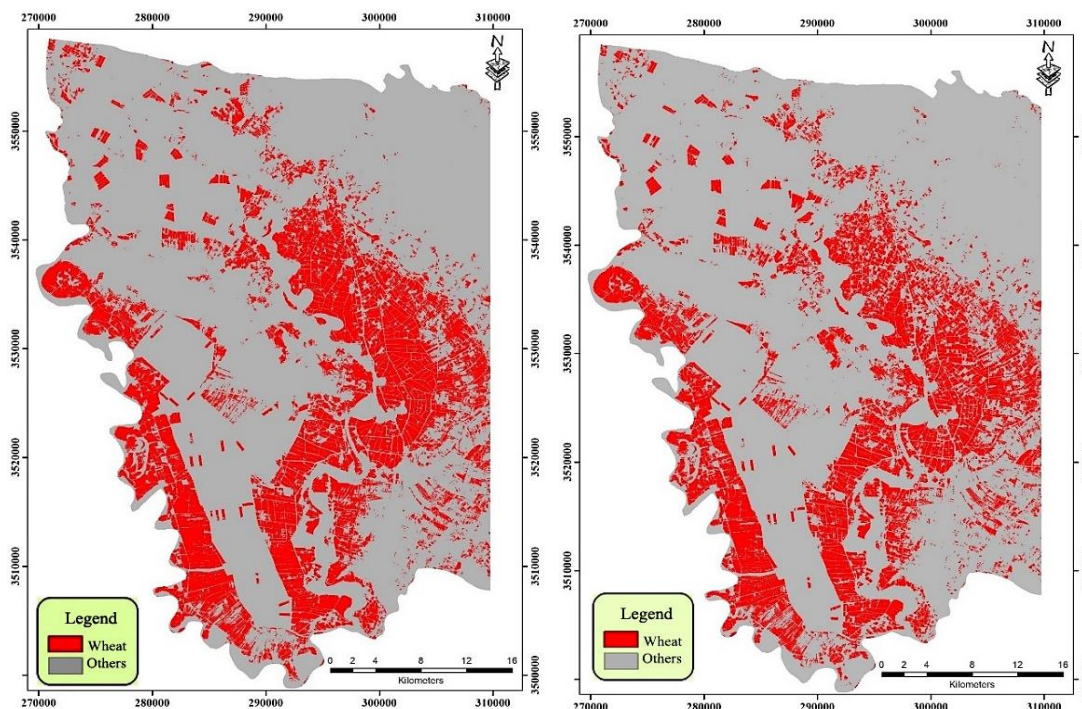
Class	طبقه	گندم Wheat	سایر Others	جمع Sum	دقت کاربر User accuracy	خطای گماشته Commission
Wheat	گندم	9387	94	9481	99	1
Others	سایر	376	22254	22630	98.3	1.7
Sum	جمع	9763	22348	32111		
Producer accuracy	دقت تولیدکننده	96.1	99.5			
Comission	خطای حذف شده	3.9	0.5			
Overall accuracy	دقت کلی	98.5				
Kappa Coefficient	ضریب کاپا	96.5				

پس از تبدیل به فرمت برداری، مساحت مزارع مورد نظر محاسبه شده و با مساحت برآورد شده توسط اداره جهاد کشاورزی مربوط به مجموع مساحت مزارع دیم و آبی شهرستان شوشتر در سال زراعی ۱۴۰۱-۱۴۰۲ که بر اساس آمار برداری‌های میدانی و خود اظهاری کشاورزان بدست آمده بود، مقایسه شد. براساس نتایج طبقه‌بندی، مجموع مساحت اراضی گندم در روش حداکثر احتمال ۴۴۳۵۲ هکتار بوده که در مقایسه با آمار اداره جهاد کشاورزی ۱۴ درصد تفاوت داشت، اما در روش ماشین بردار پشتیبان مساحت کل اراضی ۴۸۲۳۳ هکتار برآورد شد که در مقایسه با آمار اداره جهاد کشاورزی هفت درصد تفاوت داشت (جدول ۳).

میزان تفاوت بین مقدار اعلام شده جهاد کشاورزی با نتایج روش ماشین بردار پشتیبان که بر اساس معیارهای صحت به‌عنوان دقیق‌ترین روش معرفی شده است می‌تواند ناشی از این موارد باشد؛ ۱- تفاوت در تاریخ

نمونه‌های تعلیمی، این روش نتایج مطلوبی نخواهد داشت، در حالی که روش ماشین بردار پشتیبان جزء روش‌های ناپارامتری بوده و در آن از ویژگی‌های آماری داده‌ها استفاده نمی‌شود. از جمله قابلیت‌های این روش توانایی غلبه بر مشکل توزیع غیرخطی داده‌های آموزشی است. در این حالت با استفاده از توابع کرنل، داده‌ها به فضایی با بعد بزرگتر انتقال می‌یابند که در آن تفکیک پذیری بهتر انجام می‌شود (Arekhi and Adibnejad, 2011). نتایج نشان داد که انتخاب نمونه‌های تعلیمی با در نظر گرفتن فنولوژی گندم با استفاده از سری زمانی شاخص NDVI، باعث افزایش دقت طبقه‌بندی و به حداقل رسیدن میزان خطا در تفکیک طبقات شد. در شکل ۴ نقشه طبقه‌بندی زراعت گندم در شهرستان شوشتر بر اساس روش حداکثر احتمال و ماشین بردار پشتیبان ارائه شده است.

به‌منظور تعیین مساحت مزارع گندم، نقشه‌های طبقه‌بندی شده به نرم‌افزار ArcGIS 10.7 منتقل شدند.



شکل ۴- نقشه پراکنش مزارع گندم در شهرستان شوشتر با روش حداکثر احتمال (راست) و ماشین بردار پشتیبان (چپ)
 Fig. 4. Map of wheat fields in Shushtar county estimated by Maximum Likelihood Classification (MLC) (right) and Support Vector Machine (SVM) (left)

جدول ۳- مقادیر سطح زیر کشت گندم در روش‌های طبقه‌بندی و برآورد شده توسط اداره جهاد کشاورزی

Table 3- Estimated and observed wheat cultivation area

	حداکثر احتمال Maximum Likelihood Classification	ماشین بردار پشتیبان Support Vector Machine	برآورد شده (اداره جهاد کشاورزی) Observed
مساحت Area (ha)	44352	48233	51860
میزان تفاوت Difference (%)	-14	-7	

اندازه زمین‌های کشاورزی کوچک و مساحت بسیاری از آن‌ها کمتر از یک هکتار است و به‌علاوه تنوع محصولات کشاورزی منطقه بسیار زیاد است. ۴- بخشی از مزارع دیم، به‌ویژه در نواحی شرقی و حاشیه ارتفاعات، به‌دلیل پایین بودن تراکم بوته و تشابه با پوشش طبیعی منطقه، احتمالاً در طبقه گندم قرار نگرفته‌اند و باعث تفاوت در مساحت اراضی و ایجاد خطا شده باشند. برای محاسبه میزان تولید محصول

کاشت و همچنین عدم رعایت مدیریت بهینه اراضی، باعث کمتر یا بیشتر شدن میزان رشد گیاه از مقدار مورد انتظار و باعث تفاوت در مراحل فنولوژیک آن‌ها شده باشد. این قبیل قطعات در مساحت طبقه مربوطه لحاظ نشدند. ۲- مقدار سطح زیر کشت در سالنامه‌های جهاد کشاورزی عمدتاً بر اساس خود اظهاری کشاورزان تهیه می‌شود که به‌دلایلی ممکن است بالاتر یا پایین‌تر از سطح زیر کشت واقعی باشد. ۳- در شهرستان شوشتر

نظر قرار گرفت. این موضوع با نتایج تحقیقات ترن و همکاران (Tran *et al.*, 2022) و موسوی و همکاران (Mousavi *et al.*, 2020) مطابقت دارد. یکی از دلایل مناسب بودن عملکرد مدل ماشین بردار پشتیبان را می توان به پراکنش و تعداد مناسب نمونه های تعلیمی بر مبنای مراحل فنولوژیک گیاه گندم نسبت داد. این موضوع با نتایج پژوهش هایی که در آن ها روش طبقه بندی کننده ماشین بردار پشتیبان، نسبت به سایر روش ها مانند حداکثر تشابه، حداقل فاصله از میانگین و شبکه عصبی دقت بیشتری داشته است، مطابقت دارد (Chubey *et al.*, 2006; Rahimzadegan and Pourgholam, 2017; Mousavi *et al.*, 2020). به علاوه در روش ماشین بردار پشتیبان انتخاب نوع کرنل و تنظیم پارامترهای آن که معمولاً با سعی و خطا و بر اساس تجربه به دست می آیند، اثر قابل توجهی بر زمان پردازش و همچنین صحت طبقه بندی دارد. در تحقیق حاضر استفاده از کرنل شعاعی کارایی بهتری داشت که این موضوع با نتایج آرخی و ادیب نژاد (Arekhi and Adibnejad, 2011) و نجفی و همکاران (Najafi *et al.*, 2017) مطابقت دارد.

نتیجه گیری

نتایج این تحقیق نشان داد که تصاویر ماهواره ای سنتینل-۲ و الگوریتم تصحیح اتمسفری QUAC قابلیت بالایی برای تفکیک مزارع گندم و تعیین سطح زیر کشت آن در منطقه مورد مطالعه داشتند. در این تحقیق از بین روش های متنوع طبقه بندی تصاویر ماهواره ای، دو روش مورد مقایسه قرار گرفتند که روش ماشین بردار پشتیبان با توجه به معیارهای صحت سنجی نتایج مناسب تری داشت و ضمن ارزیابی های بیشتر می توان از آن برای برنامه ریزی الگوی کشت در منطقه استفاده کرد. مقایسه روش ماشین بردار پشتیبان با روش های پیشرفته تری مانند جنگل تصادفی در تحقیقات آینده پیشنهاد می شود.

گندم، متوسط وزنی عملکرد گندم دیم و آبی برای منطقه که با توجه به داده های اراده جهاد کشاورزی شهرستان حدود ۳ تن در هر هکتار اعلام شده است، در سطح زیر کشت به دست آمده از نقشه طبقه بندی شده ماشین بردار پشتیبان ضرب شد و مقدار کل تولید محصول گندم در شهرستان شوشتر در سال زراعی ۱۴۰۲-۱۴۰۱ حدود ۱۴۴۷۰۰ تن به دست آمد. در نتایج گزارش شده توسط سایر محققان از جمله موسوی و همکاران (Mousavi *et al.*, 2020) و کلورز و همکاران (Clevers *et al.*, 2017) نیز کارایی این نوع تصاویر مورد تاکید قرار گرفته است. در نتایج تحقیقات گذشته با هدف استخراج نقشه گیاهان زراعی، تصاویر تصحیح اتمسفری شده طبقه بندی شده است (Vuolo *et al.*, 2018; Navidi *et al.*, 2021). در تحقیق حاضر ابتدا شاخص تفاضل پوشش گیاهی نرمال شده (NDVI) برای سری زمانی تصاویر مورد استفاده تهیه شده و مراحل فنولوژیک گیاه گندم مبنای انتخاب نمونه های تعلیمی قرار گرفت. مقادیر این شاخص در ماه های مختلف (شکل ۳) نشان داد که مرحله حداکثر پوشش گیاهی تشخیص داده شده با این روش با تقویم زراعی مستخرج از مراجع و پرسش های شفاهی مطابقت داشت. این موضوع با نتایج تحقیق عیبات و همکاران (Abiyat *et al.*, 2022) که قابلیت بالاتر شاخص مورد بررسی را در برآورد سطح زیر کشت گیاه زراعی را گزارش کردند، مطابقت دارد. استفاده از الگوی تغییرات NDVI به منظور تهیه نمونه های تعلیمی نشان دهنده کارایی مناسب شاخص های گیاهی در برآورد سطح زیر کشت گیاهان زراعی با توجه به مراحل فنولوژیک آن ها است، این موضوع با نتایج تحقیق ژنگ و همکاران (Zheng *et al.*, 2015) و ریاحی و همکاران (Riahi *et al.*, 2019) نیز مطابقت دارد. نتایج تحقیق حاضر نشان داد که روش طبقه بندی ماشین بردار پشتیبان نسبت به روش حداکثر احتمال، دقت بالاتری برای منطقه مورد مطالعه داشت و به عنوان روش مبنای مد

سپاسگزاری

است و نگارندگان لازم می‌دانند از حمایت‌های
دانشگاه کمال تشکر و قدردانی را داشته
باشند.

این مقاله مستخرج از پایان‌نامه کارشناسی ارشد
دانشگاه علوم کشاورزی و منابع طبیعی خوزستان

References

منابع مورد استفاده

- Abiyat, M., Amanpour, S., Abiyat, M., and Abiyat, M. 2022.** Estimation of agricultural cultivation area by Landsat 8 satellite images (Case study: Shushtar Province), *Journal of Crops Improvement*, 24(2), pp.465-479. [In Persian]. doi: 10.22059/JCI.2021.322146.2537
- Alipour, F., Aghkhani, M., Abasspour-Fard, M., and Sepehr, A. 2014.** Demarcation and estimation of agricultural lands using ETM+ imagery data (Case study: Astan Ghods Razavi Great Farm). *Journal of Agricultural Machinery*, 4(2), pp.244-254. [In Persian]. doi: 10.22067/jam.v4i2.34827
- Arekhi, S., and Adibnejad, M. 2011.** Efficiency assessment of the Support Vector Machines for land use classification using Landsat ETM+ data (Case study: Ilam Dam Catchment). *Iranian Journal of Rangeland and Desert Research*, 18(3), pp.420-440. [In Persian]. doi: 10.22092/ijrdr.2011.102175
- Arekhi, S., and Fathizad, H. 2015.** Evaluating the efficiency of four artificial neural network methods in preparing land cover/land use map using ETM+ Data. *Geography and Development*, 12(37), pp.133-146. [In Persian]. doi: 10.22111/GDIJ.2015.1824
- Asadi, B., and Shamsoddini, A. 2024.** Crop mapping using a combination of Sentinel-1 and 2 images in Ardabil province. *Iranian Journal of Remote sensing & GIS*, 16(3), pp.25-46. [In Persian]. doi: 10.48308/GISJ.2023.103095
- Bernstein, L.S., Jin, X., Gregor, B., and Adler-Golden, S.M. 2012.** Quick Atmospheric Correction Code: Algorithm Description and Recent Upgrades. *Optical Engineering*, 51(11), 111719. <https://doi.org/10.1117/1.OE.51.11.111719>
- Chubey, M.S., Franklin, S.E., and Wulder, M.A. 2006.** Object-based analysis of Ikonos-2 imagery for extraction of forest inventory parameters. *Photogrammetric Engineering & Remote Sensing*, 72(4), pp.383-394. <https://doi.org/10.14358/PERS.72.4.383>
- Clevers, J.G., Kooistra, L., and Van den Brande, M.M. 2017.** Using Sentinel-2 data for retrieving LAI and leaf and canopy chlorophyll content of a potato crop. *Remote Sensing*, 9(5):405. <https://doi.org/10.3390/rs9050405>
- Hunt, M.L., Blackburn, G.A., Carrasco, L., Redhead, J.W., and Rowland, C.S. 2019.** High resolution wheat yield mapping using Sentinel-2. *Remote Sensing of Environment*. 233, 111410. <https://doi.org/10.1016/j.rse.2019.111410>
- Moradi, A.R., Jafari, M., Arzani, H., and Ebrahimi, M. 2016.** Assessment of land use changes into dry land using satellite images and Geographical Information System (GIS). *RS & GIS Techniques for Natural*

Resources, 7(1), pp.89-100. [In Persian]. doi: sanad.iau.ir/Journal/girs/Article/901883

Mountrakis, G., Im, J., and Ogole, C. 2011. Support vector machines in remote sensing: A review. *ISPRS Journal of Photogrammetry and Remote Sensing*, 66, pp.247-259. <https://doi.org/10.1016/j.isprsjprs.2010.11.001>

Mousavi, S.A., Abbaszadeh Tehrani, N., and Janalipour, M. 2020. Estimation of wheat area cultivation using Sentinel-2 satellite images (Case study: Sojasroud region, Khodabandeh city, Zanzan province), *Journal of Environmental Research and Technology*, 5(7), pp.77-90. [In Persian]. doi: 10.29252/5.7.77

Najafi, A., Azizi Ghalati, S., and Mokhtari, M.H. 2017. Assessment kernel Support Vector Machines in classification of land uses (Case Study: Basin of Cheshmeh Kileh-Chalkrod), *Journal of Watershed Management Research*, 8(15), pp.92-101. [In Persian]. doi: 10.29252/jwmr.8.15.92

Navidi, M., Chatrenour, M., Jamshidi, M., and Akhyani, A. 2021. Estimating cultivation area of some selected crops in Bastam Plain by using multi-temporal Sentinel-2 images, *Iranian Journal of Soil Research*, 35(1), pp.41-59. [In Persian]. doi: 10.22092/IJSR.2021.353903.592

Rahimzadegan, M., and Pourgholam, M. 2017. Identification of the area under cultivation of saffron using Landsat-8 temporal satellite images (Case study: Torbat Heydarieh). *Journal of RS and GIS for Natural*, 7(4), pp.97-115. [In Persian]. doi: sanad.iau.ir/en/Journal/girs/Article/901982

Rezaei Moghadam, M.H., Valizadeh, K., Andariani, S., and Almaspour, F. 2015. Comparison of neural network and support vector machine methods in land use and land cover maps generation using landsat-8 images (case study: Sufichay catchment), *Journal of Geography and Planning*, 19(52), pp.163-183. [In Persian]. doi: geoplanning.tabrizu.ac.ir/article_3698.html?lang=fa

Riahi, V., Zeaiean Firouzabadi, P., Azizpour, F., and Darouei, P. 2019. Identification and investigation of the area under cultivation in Lenjanat using Landsat 8 satellite images. *Researches in Geographical Sciences*. 19(52), pp.147-169. [In Persian]. doi: 10.29252/jgs.19.52.147

Rouse, J.W., Haas, R.H., Shell, J.A., and Deering, D.W. 1974. Monitoring vegetation systems in the Great Plains with ERTS, Remote Sensing center, Texas A&M University, College Station, Texas. <https://ntrs.nasa.gov/api/citations/19740022614/downloads/19740022614.pdf>

Sadooghi, H., Rajaei, T., and Rouhani, N. 2021. Identification and investigation of changes in area of Hoseynabade Mishmast village using satellite images. *Journal of Water and Soil Science*, 24(4), pp.239-254. [In Persian]. doi: 10.47176/jwss.24.4.42521

Schowengerdt, R.A. 2007. Remote Sensing: Models and Methods for Image Processing. Academic Press, United States. <https://doi.org/10.1016/B978-0-12-369407-2.X5000-1>

Tran, K.H., Zhang, H.K., McMaine, J.T., Zhang, X., and Luo, D., 2022. 10 m crop type mapping using Sentinel-2 reflectance and 30 m cropland data layer product, *International Journal of Applied Earth*

Observation and Geoinformation, 107, 102692. <https://doi.org/10.1016/j.jag.2022.102692>

Vuolo, F., Neuwirth, M., Immitzer, M. Atzberger, C., and Ng, W.T. 2018. How much does multi-temporal Sentinel-2 data improve crop type classification? *Applied Earth Observation and Geo-information*, 72, pp.122–130. <https://doi.org/10.1016/j.jag.2018.06.007>

Zheng, B.S., Myint, W., Thenkabail, P.S., and Aggarwal, R.M. 2015. A support vector machine to identify irrigated crop types using time-series Landsat NDVI data, *International Journal of Applied Earth Observation and Geoinformation*, 34, pp.103-112. <https://doi.org/10.1016/j.jag.2014.07.002>